

## مقایسه‌ی میزان بیان miR-24، miR-106a و miR-107 بین دو قلوهای همسان در سینین مختلف

منصوره عجمی<sup>۱</sup>، دکتر امیر آتشی<sup>۲</sup>، دکتر مسعود سلیمانی<sup>۳</sup>، منیره عجمی<sup>۴</sup>، دکتر سعید کاویانی<sup>۳</sup>

نویسنده‌ی مسؤول: تهران، دانشگاه تربیت مدرس، دانشکده‌ی علوم پزشکی، گروه هماتولوژی atashia@modares.ac.ir

دریافت: ۹۳/۷/۶ پذیرش: ۹۳/۷/۲۱

### چکیده

**زمینه و هدف:** افزایش سن مانند بسیاری از صفات پیچیده از تعامل میان ژنوم و شرایط محیطی حاصل می‌گردد و اپی‌ژنتیک به عنوان یک مکانیسم رابط مرکزی، این دو عامل را به هم مرتبط می‌سازد. تاکنون مطالعاتی برای یافتن صفات وابسته به سن و نشانگرهای زیستی که پیش‌بینی کننده‌ی طول عمر و خطر بروز مرگ می‌باشند انجام شده، اما هنوز هیچ توافق جامعی وجود ندارد. دو قلوهای همسان یک مدل مناسب برای مطالعه‌ی تغییرات اپی‌ژنتیک مرتبط با افزایش سن هستند. *miRNA* ها مولکول‌های تنظیم کننده‌ی کوچک ۲۲ نوکلئوتیدی هستند که به عنوان یکی از مکانیسم‌های اپی‌ژنتیکی دخیل در فرایند افزایش سن شناخته شده‌اند. هدف از این مطالعه بررسی تفاوت بیان تعدادی از *miRNA* های مرتبط با افزایش سن در جفت دو قلوهای همسان بود.

**روش بررسی:** در این مطالعه تفاوت بیان *miR-106a*, *miR-24* و *miR-107* که ژن‌های هدف‌شان در تنظیم چرخه‌ی سلولی و فرایند افزایش سن نقش دارند، بر روی شش جفت دوقلوی همسان در دو رده‌ی سنی ۱۵ تا ۱۷ و ۴۵ تا ۵۰ سال با استفاده از روش *qRT-PCR* مورد بررسی قرار گرفت.

**یافته‌ها:** بیان *miR-106a*, *miR-24* و *miR-107* بین دو رده‌ی سنی، تفاوت معنی‌داری (۲۲/۳۷ برابر) را نشان داد. میزان عدم تطابق در بیان *miRNA* هر سه در مقایسه‌ی قل‌های اول با قل‌های دوم با افزایش سن افزایش یافت (۴۰/۱/۷۳۳ برابر).

**نتیجه‌گیری:** افزایش بیان *miR-106a*, *miR-24* و *miR-107* می‌تواند عاملی جهت افزایش سن تلقی گردد. همچنین افزایش در تفاوت میزان بیان، طی افزایش سن، به خوبی تایید کننده‌ی اثرات محیط بر میزان بیان *miRNA* های دو قلوهای همسان می‌باشد.

**واژگان کلیدی:** دوقلو، اپی‌ژنتیک، *miRNA*، افزایش سن

### مقدمه

پیچیده، افزایش سن نیز از تعامل میان ژنوم و شرایط محیطی حاصل می‌گردد و اپی‌ژنتیک به عنوان یک مکانیسم رابط مرکزی، این دو عامل را به هم مرتبط می‌سازد. افزایش سن

افزایش سن به صورت یک کاهش تدریجی در توانایی برای مقابله با چالش‌های فیزیولوژی که نهایتاً منجر به مرگ می‌گردد، مشخص می‌شود (۱). مانند بسیاری از صفات

- ۱- دانشجوی کارشناسی ارشد هماتولوژی، دانشکده‌ی علوم پزشکی، دانشگاه تربیت مدرس
- ۲- دکترای تخصصی هماتولوژی، استادیار دانشکده‌ی علوم پزشکی، دانشگاه تربیت مدرس
- ۳- دکترای تخصصی هماتولوژی، دانشیار دانشکده‌ی علوم پزشکی، دانشگاه تربیت مدرس
- ۴- دانشجوی کارشناسی ارشد هماتولوژی، دانشکده‌ی پزشکی، دانشگاه علوم پزشکی مشهد

دیگر و ایجاد ارتباط میان سلول‌ها می‌شوند. اگرزووم و miRNA‌ها در شبکه‌ی پیچیده‌ای که منجر به فرایند افزایش سن می‌گردد نقش ایفا می‌کنند (۱۱). بررسی سیستم‌های مدل‌سازی شده نشان می‌دهد که افزایش سن می‌تواند با تغییراتی در ژن‌ها و بیان پروتئین‌های تنظیم گردد (۱۲). با افزایش سن تمایل به افزایش بیان بعضی از miRNA‌ها که باعث کاهش بیان ژن‌های هدفشان می‌گردد نشان می‌دهد که کنترل اپیژنوم مرتبط با فرایند افزایش سن تا حدی توسط این miRNA‌ها صورت می‌گیرد (۱۳). شواهد اولیه در مورد نقش miRNA به عنوان یک فاکتور تنظیم کننده افزایش سن از مطالعه بر روی کرم‌های *C. elegans* به دست آمده است (۱۴). باعث افزایش طول عمر در این کرم‌ها می‌شود، Lin-4 باعث افزایش سن کاهش می‌یابند در مقابل miR-1 و Let-7 با افزایش سن کاهش می‌یابند (۱۵). در یک مطالعه که توسط هکل و همکارانش بر روی چهار مدل سلولی با القا پیری به صورت In Vitro و سه نمونه ارگانلی گرفته شده از افراد پیر و جوان انجام شد، کاهش بیان چهار miRNA (miR-17, miR-29a, miR-106a, miR-19b) با افزایش سن گزارش گردید (۱۶). نورن هوتون و همکارانش با بررسی سلول‌های تک هسته‌ای خون محیطی در دو جمعیت (miR-103, miR-107, miR-130a, miR-24) پیر و جوان کاهش بیان miR-128, miR-155, miR-221, miR-496, miR-1538) افزایش سن گزارش کردند (۱۷). در مطالعه دیگری، مقایسه پروفایل miRNA خون کامل در دو جمعیت با متوسط سن ۴۵/۹ و ۹۶/۴ به روش Microarray انجام شد. نتایج نشان می‌دهد از هشتاد miRNA که دارای تغییرات بیان مرتبط با افزایش سن بودند، شانزده مورد، افزایش و شست و چهار مورد، دارای کاهش بیان می‌باشدند (۱۸).

دو قلوهای همسان مدلی مناسب برای مطالعه تغییرات اپیژنتیک هستند. طی افزایش سن، یک فرد به تدریج دستخوش تغییراتی می‌شود که قل دیگرش با ژنتیک یکسان ممکن است این تغییرات را به گونه‌ای متفاوت نشان دهد.

یک روند طبیعی است که تمام افراد در طول زندگی خود با آن مواجه می‌شوند. هرچند عوامل و راثتی ممکن است در ابتدا تعیین کننده طول عمر یک فرد باشد، شرایط محیطی می‌تواند در طول زمان به‌طور موثری بر فرایند افزایش سن تاثیرگذار باشد (۲). رشد و تکامل موجودات زنده با تغییرات هماهنگ و منظم اپیژنتیکی در طول زمان تنظیم می‌گردد، هر چند بعضی تغییرات اپیژنتیکی قادر نقش شناخته شده در این فرایند می‌باشد (۳). یکی از مکانیسم‌های اپیژنتیکی موثر، متیلاسیون DNA است. در سلول‌های طبیعی به‌طور نرمال ۷۰ تا ۹۰ درصد جایگاه‌های CPG به صورت مตیله هستند در صورتی که جزایر CPG که معمولاً در پرموتر ژن‌ها قرار دارند به صورت غیر متنیله می‌باشند (۴). این الگوی متیلاسیون در روند افزایش سن به صورت معکوس دیده می‌شود یعنی متیلاسیون کلی در بسیاری از بافت‌ها کاهش داشته و تعداد زیادی از جزایر CPG هایپر متنیله می‌گردد (۳). دو مین مکانیسم اپیژنتیک که بر افزایش سن و طول عمر تاثیر می‌گذارد، تغییرات هیستونی بعد از ترجمه است (۵). تغییرات هیستونی بعد از ترجمه در کرم‌ها و مگس‌ها مورد بررسی قرار گرفته شد و نتایج نشان دادند که این عامل اپیژنتیکی طی افزایش سن متحمل تغییر می‌گردد (۶). از miRNA‌ها به عنوان دیگر مکانیسم اپیژنتیکی دخیل در فرایند افزایش سن یاد می‌شود (۷). miRNA‌ها مولکول‌های کوچک ۲۲ نوکلئوتیدی هستند که بیان ژن هدف خود را بعد از رونویسی تحت تاثیر منفی قرار می‌دهند و با اتصال به mRNA هدف خود باعث ناپایداری یا کاهش آن می‌گردد (۸). miRNA‌ها می‌توانند به عنوان عاملی تنظیم کننده در بسیاری از فرایندهای سلولی شامل تکثیر و بقا، تمایز، رونویسی، پیری و افزایش سن ایفای نقش کنند (۹). مطالعات اخیر نشان می‌دهند که در طی فرایند افزایش سن بیان miRNA‌ها دچار تغییر می‌گردد (۱۰). miRNA‌ها موجود در اگرزووم باعث انتقال اطلاعات از سلول به سلول

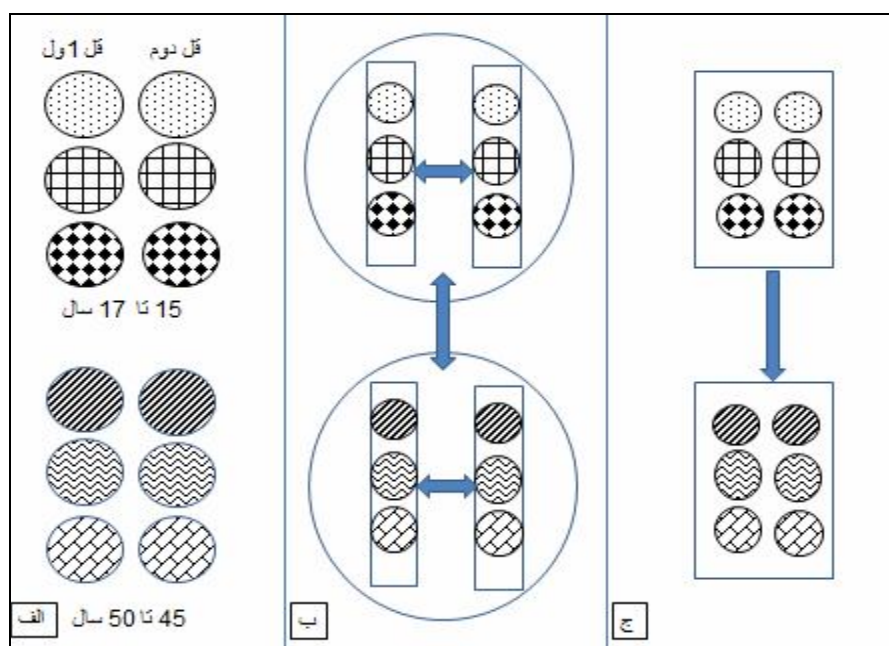
دیابت، فشار خون و بیماری‌های قلبی مصرف نمی‌کردند. تا حد امکان سعی شد دوقلوهای انتخاب شده، در شرایط محیطی یکسان زندگی کرده و رشته‌ی تحصیلی و شرایط شغلی مشابهی داشته باشند. برای تعیین و اثبات همسان بودن دوقلوهای شرکت کننده در مطالعه، فرم پرسشنامه‌ای شامل تعدادی سوال‌های تایید شده (۱۹) توسط والدین تکمیل گردید. پاسخ‌های هر بخش از پرسشنامه نمره بندی شده و در نهایت جمع نهایی، تعیین کننده‌ی همسان و یا ناهمسان بودن می‌باشد. نمره بالای ۰/۷ به عنوان دوقلوی ناهمسان و نمره‌ی پایین ۰/۶ به عنوان دوقلوی همسان در نظر گرفته شد، در حالی که نمره مابین ۰/۷-۰/۶ ممکن است تمايز همسان از ناهمسان را ندارد.

چگونگی مقایسه میزان تطابق بیان miRNA‌های مورد نظر در دوقلوهای هر رده سنی و مقایسه با رده‌ی سنی دیگر به صورت الگووار طراحی شد (شکل ۱).

(۱۸). استفاده از نمونه‌های دوقلو با ایجاد پل می‌تواند شکاف موجود میان فعالیت زنی و محیط را از طریق مکانیسم‌های اپیژنتیک از بین ببرد (۲). بر اساس مطالعات ذکر شده، مشترکات miRNA‌های بررسی شده یعنی ۱۰۷ miRNA و ۲۴ miR و ۱۰۶ miR انتخاب و میزان تفاوت بیانشان روی نمونه‌ی خون محیطی شش جفت دوقلوی همسان در دو رده‌ی سنی ۱۵ تا ۱۷ و ۴۵ تا ۵۰ سال مورد بررسی قرار گرفت.

### روش بررسی

نمونه و شرکت کنندگان در مطالعه: دو میلی‌لیتر از نمونه‌ی خون محیطی ۶ جفت دوقلوهای همسان در دورde سنی ۱۵ تا ۱۷ و ۴۵ تا ۵۰ سال با رضایت‌نامه‌ی کتبی تهیه شد. دوقلوهای شرکت کننده در این مطالعه همگی از سلامت کامل برخوردار بوده و حتی هیچ گونه دارویی برای بیماری‌های



شکل ۱: چگونگی مقایسه دوقلوهای مورد بررسی در مطالعه. الف. شش جفت دوقلوی همسان در دو رده سنی ۱۵ تا ۱۷ و ۴۵ تا ۵۰ سال. ب. مقایسه بیان miRNA‌ها میان قل‌های اول هر رده سنی با قل‌های دوم در همان رده سنی و مقایسه میزان عدم تطابق بیان miRNA‌ها در دوقلوهای همسان در دو رده سنی متفاوت. ج. بررسی تفاوت بیان miRNA‌ها با افزایش سن.

(طول موج جذبی RNA) و ۲۸۰ نانومتر (طول موج جذبی پروتئین) با دستگاه بیوفتوتمتر بررسی شد. مقدار OD ۱/۷ ۲۶۰/۲۸۰ میزان آلودگی با پروتئین است و اگر از بیشتر باشد، میزان آلودگی با پروتئین کمتر خواهد بود. از طرفی غلظت RNA نیز با دستگاه بیوفتوتمتر مورد ارزیابی قرار گرفت.

ستز cDNA و سنجش mRNA: ستر cDNA و سنجش miRNA QRT-PCR Detection miRNA (Stratagen, America) Kit با استفاده از miRNA به منظور اضافه کردن دم پلی A به انتهای ۳' به ازای هر نمونه به ترتیب ۴ میکرولیتر پلی A پلیمرازبافر، در میکروتیوب های ۱/۵ میلی لیتری ریخته و مخلوط واکنش در میکروتیوب (۱۰) میلی مول rATP، ۱ میکرو گرم RNA تام ۱ میکرو لیتر (۱۰) میلی مول dNTP، ۱ میکرو گرم RNase-Free با آب مقطر به حجم نهایی ۲۰ میکرولیتر رسید (البته با احتساب یک میکرولیتر آنزیمی که بایستی در گام بعد اضافه شود). نمونه ها بدون ورتكس کردن، به آرامی مخلوط شده و با برنامه دمایی ۳۷ درجهی سانتی گراد به مدت ۵ دقیقه، در ۳۰ دقیقه و ۹۵ درجهی سانتی گراد به مدت ۵ دقیقه، در دستگاه ترمال سایکلر انکوبه شدند پس از اجرای انکوباسیون فوق، نمونه ها بالاصله بر روی یخ قرار داده شدند.

به منظور واکنش ستر cDNA به ازای هر نمونه، ۲ میکرولیتر RT بافر X، ۴ میکرو لیتر از محصول مرحله اول، ۰/۸ میکرو لیتر (۱۰۰ میلی مول) dNTP، ۱ میکرو لیتر پرایمر آدپتور RT و ۱ میکرولیتر آنزیم RT به میکروتیوب های RNAse-Free اضافه کرده و حجم نهایی با ۱۱/۲ آب RNase-Free به ۲۰ میکرولیتر رسانده شد. پس از مخلوط نمودن آرام ترکیبات هر میکروتیوب، ابتدا برای ۵ دقیقه در ۵۵ درجهی سانتی گراد و به دنبال آن ۱۵ دقیقه در ۲۵ درجهی سانتی گراد قرار گرفت و سپس برای ۳۰ دقیقه در ۴۲ درجهی سانتی گراد به منظور فعالیت رونویسی معکوس، باقی مانده و در نهایت برای خاتمه دادن به فعالیت رونویسی معکوس،

استخراج RNA تام به روش دستی و با بهره گیری از RNX<sup>TM</sup> (plus) برپایه فنل-کلروفورم: به ازای هر ۱۰۷ سلول ۲۰۰ میکرولیتر از RNX<sup>TM</sup>- Plus Solution (سیناکلون، ایران) استفاده شد. بعد از ورتكس یک دقیقه ای، نمونه ها به مدت ۵ دقیقه در دمای اتفاق قرار داده شدند. به ازای هر یک میلی لیتر نمونه، ۲۰۰ میکرولیتر کلروفورم اضافه گردید و یک دقیقه به شدت تکان داده شد. سپس ۵ دقیقه در دمای ۴ درجهی سانتی گراد قرار گرفت. در مرحلهی بعد سانتریفیوژ به مدت ۲۰ دقیقه با ۱۲۰۰۰ دور بر دقیقه در دمای ۴ درجهی سانتی گراد با بهره گیری از سانتریفیوژ یخچال دار انجام شد. از سه فاز تشکیل شده، فاز بی رنگ رویی حاوی RNA با درست بود. دو فاز زیرین آلوده نشود، جدا شده و به میکروتیوب ۱/۵ میلی لیتری RNase-Free جدیدی متقل شد. هم حجم محلول جدا شده به آن اتانول ۱۰۰ درصد سرد اضافه و به آرامی مخلوط شده و به مدت یک شباهه روز (Overnight) در دمای ۷۰ درجهی سانتی گراد قرار گرفت. سانتریفیوژ به مدت ۴۵ دقیقه با دور ۱۲۰۰۰ rpm در دمای ۴ درجهی سانتی گراد سانتریفیوژ یخچال دار انجام و سپس محلول رویی، دور ریخته شد. رسوب سفید رنگ در انتهای میکروتیوب، با یک میلی لیتر اتانول ۷۰ درصد سرد شستشو و سانتریفیوژ گردید. محلول رویی دور ریخته شده، ۱۰ دقیقه زمان داده شد تا رسوب مورد نظر خشک شود. در انتها، حدود ۳۰ میکرولیتر آب مقطر RNase-Free به هر نمونه افزوده و پیپتاز گردید.

کترول کیفی RNA استخراج شده: برای انجام کترول کیفی RNA استخراج شده، ابتدا ۵ میکرولیتر از RNA روی ژل آگارز ۲ درصد که در شرایط RNase-Free تهیه شده بود الکتروفورز گردید و سالم بودن باندهای ریبوزومی ۱۸S و ۲۸S مورد بررسی قرار گرفت. در مرحلهی بعد به منظور ارزیابی میزان آلودگی RNA استخراج شده با پروتئین، میزان جذب محصول استخراج شده در طول موج های ۲۶۰ نانومتر

نمونه‌های مورد آزمایش می‌باشد. برای استفاده از رنگ مذکور، در ابتدا آن را به میزان ۱:۵۰ با آب Nuclease-Free رقیق کرده و آنگاه برای هر نمونه به میزان ۰/۳۷۵ میکرولیتر ۲X miRNA QPCR master mix ۱۲/۵ $\mu$ l همراه با ۱ میکرولیتر پرایمر ۱ میکرولیتر پرایمر عمومی معکوس و ۱ میکرولیتر پرایمر روبه‌جلو اختصاصی (بر اساس دستورالعمل شرکت سازنده‌ی کیت) با یکدیگر ترکیب شد. حجم نهایی با آب مقطر RNAse-Free به ۲۵ رسانده شده که این مقدار، ۱ میکرو لیتر cDNA اضافه شده در مرحله‌ی آخر را نیز در بر می‌گیرد. پیش از قرار دادن نمونه‌ها در دستگاه ترمال سایکلر Real Time RT-PCR (Applied Biosystem) محتوای میکروتیپ‌ها به آرامی به طوری که حباب نگیرند مخلوط شد (بدون ورتکس) و انکوباسیون ابتدا در دمای ۹۵ درجه‌ی سانتی‌گراد برای مدت ۱۰ دقیقه (تنها برای دور اول) سپس در دمای ۹۵ درجه‌ی سانتی‌گراد ۱۰ ثانیه، دمای ۶۰ درجه‌ی سانتی‌گراد برای ۱۵ ثانیه و در نهایت دمای ۷۲ درجه‌ی سانتی‌گراد ۲۰ ثانیه برای ۴۰ دور متوالی انجام گرفت. توالی پرایمرهای مورد استفاده در Real Time RT-PCR در جدول ۱ آورده شده است.

۵ دقیقه در دمای ۹۵ درجه‌ی سانتی‌گراد حرارت داده شد. در پایان، ۲۸۰ میکرولیتر آب RNase-Free به محصول هر واکنش افزوده شد و نمونه‌ها برای انجام بررسی‌های بعدی با Real Time RT- PCR در ۲۰- درجه‌ی سانتی‌گراد قرار گرفتند.

**Real Time RT- PCR:** پس از انجام آزمون‌های کیفی، اندازه‌گیری تغییرات بیان کمی و دقیق RNA های استخراج شده از نمونه‌ی خون محیطی دوقلوهای همسان، با تکنیک Real Time RT-PCR و با استفاده از Stratagen, America miRNA QRT-PCR Detection Kit انجام گرفت. رنگ فلوروئسنت Eva Green موجود در کیت مذکور، همانند SYBR Green Master Mix رنگ متصل شونده به DNA دو رشتہ‌ای است که نیاز به استفاده از پروب‌های اختصاصی را برای شناسایی محصولات، رفع می‌نماید و در مقایسه با SYBR Green از خاصیت فلوروئرانس و اختصاصیت بیشتری برخوردار است. رنگ Real time مرجع موجود در کیت نیز می‌تواند در واکنش مورد استفاده قرار گیرد و عملکرد آن نرمال سازی و از بین بردن تفاوت‌های فلوروئرانس غیر وابسته به مقدار، در میان

جدول ۱. مشخصات پرایمرهای رو به جلو طراحی شده جهت تشخیص میزان بیان ژن‌های مورد بررسی

miRNA	Primer-F	TM	Length
<b>hsa-miR-107</b>	AGCAGCATTGTACAGGGCTATC	57.1 °C	22
<b>hsa-miR-24-3p</b>	TGGCTCAGTTCAGCAGGAA	56.5 °C	19
<b>hsa-miR-106a-5p</b>	AAAAGTGCTTACAGTGCAGGTAG	55.3 °C	23
<b>U6</b>	AAATTGGAACGATAACAGAGAAG	57.87	22

خون محیطی دوقلوهای همسان انجام شد. واکنش مورد نظر توسط Real Time RT-PCR روی cDNA می‌باشد. میزان بیان miRNA های hsa-miR-107, hsa-miR-24-3p, hsa-miR-106a-5p و U6 به عنوان کنترل داخلی، نرمال  $\Delta Ct = Ct_{\text{miRNA of interest}} - Ct_{\text{U6}}$  سازی شد.

#### یافته‌ها

نتیجه اندازه‌گیری کمی برای بررسی تفاوت بیان miR-107 و miR-24, miR-106a در مطالعه‌ی حاضر پس از استخراج RNA از نمونه‌ی خون محیطی دوقلوهای همسان و بررسی‌های کمی و کیفی آن، سنتز cDNA از نمونه

دو قلوهای ۱۵ تا ۱۷ سال نسبت به جفت دو قلوهای ۴۵ تا ۵۰ سال پرسی شد.

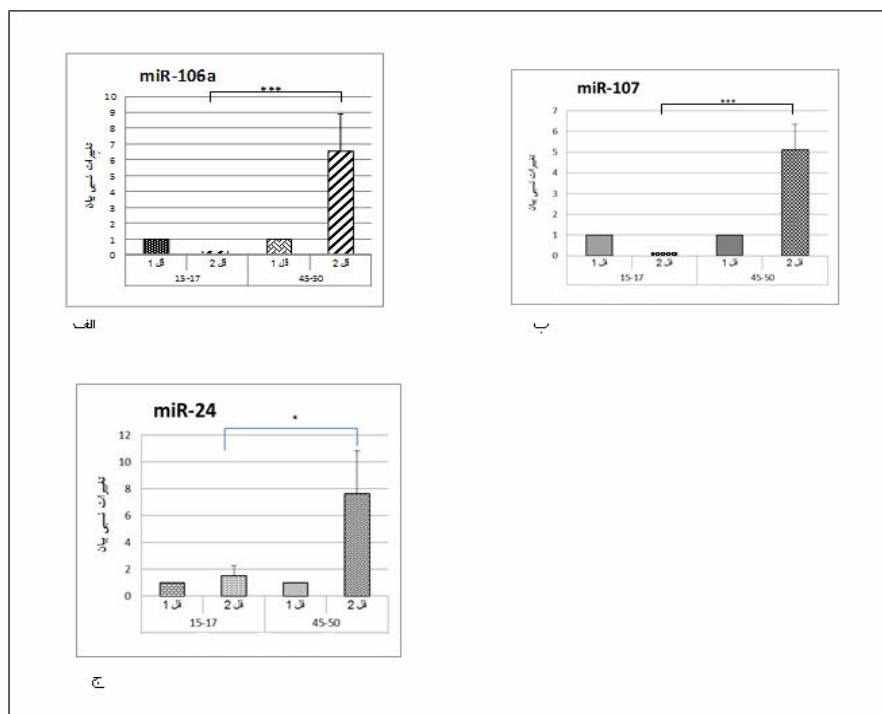
عدم تطابق بیان miR-106a و miR-107, miR-24 در بین قل های اول نسبت به قل های دوم در هر دو ردهی سنی مشاهده شد، اما این عدم تطابق تنها در ردهی سنی ۴۵ تا ۵۰ سال از نظر آماری معنی دار بود (P-value <0/05 : miR-106a و miR-107, miR-24 <0/01 : برای miR-106a و miR-107, miR-24 <0/01). میزان عدم تطابق بیان در بین قل های اول نسبت به قل های دوم در ردهی ۴۵ تا ۵۰ سال نسبت به ردهی سنی ۱۵ تا ۱۷ سال افزایش داشت که این افزایش در همه mRNA ها از نظر آماری تفاوت معنی داری داشت (P-value <0/001 : miR-106a و miR-107, miR-24 <0/05 : برای miR-106a و miR-107, miR-24 <0/01). (شکل ۲).

سپس بر اساس مقایسه‌های مورد نظر بین دو قلوها در دو رنج سمنی یاد شده و با استفاده از مدل  $\Delta\Delta CT$  که روشی برای سنجش نسبی بیان ژن‌ها است، بررسی تفاوت در تغییرات بیان miRNA‌های مورد نظر انجام گرفت.

$$\Delta\Delta CT = \Delta CT_{sample1} - \Delta CT_{sample2}$$

$2^{-\Delta\Delta CT}$  = Relative Fold Change in gene expression level

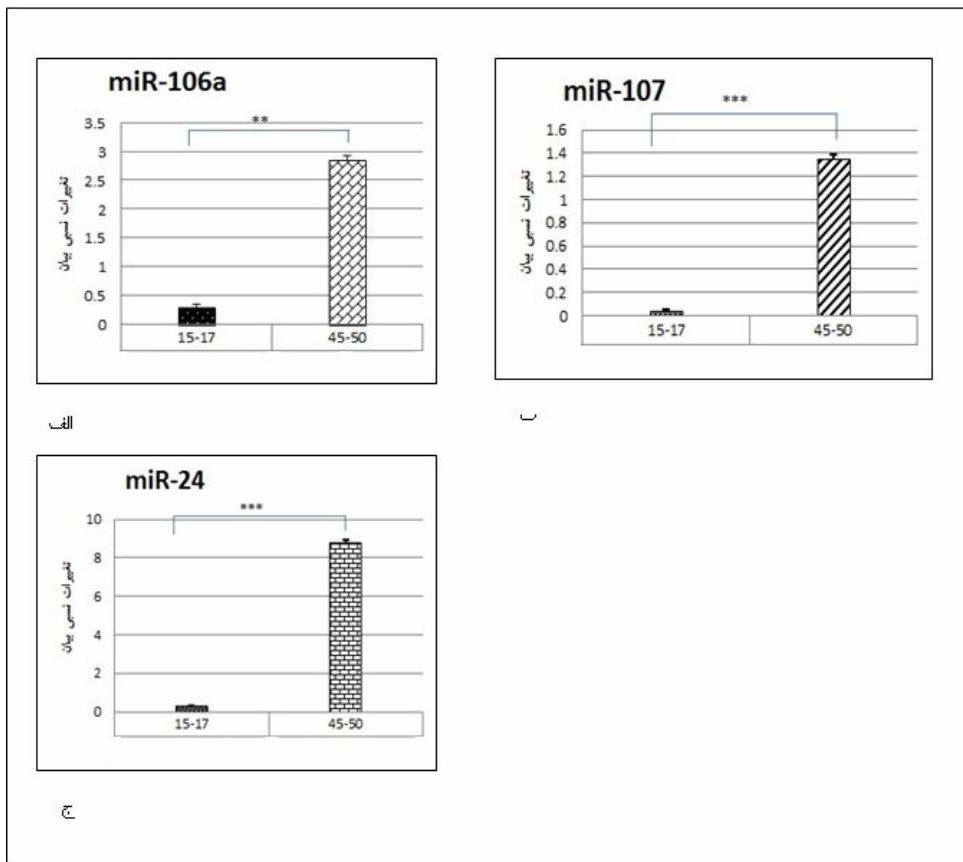
نتایج حاصل از بررسی تفاوت بیان miRNA های miR-24, miR-106a و miR-107 در مقایسه قل های اول با قل های دوم با افراش سن: طبق روند توضیح داده شده در طراحی مطالعه (شکل ۱ - ب) ابتدا تفاوت در میزان بیان miR-24, miR-106a, miR-107 سنی با قل های دوم در همان ردهی سنی ارزیابی شده وسپس میزان عدم تطابق بیان miRNA های مذکور در جفت



شکل ۲. تاثیر افزایش سن بر میزان عدم تطابق بیان miRNA ها مابین قل های اول نسبت به قل های دوم. انحراف از میانگین به صورت SEM محاسبه شده است (P-value) به ترتیب برای  $miR-106a$ ,  $miR-107$ ,  $miR-24$ :  $<0.05$ ,  $<0.001$  و  $<0.001$ )

بیان miRNA های miR-106a, miR-24, miR-107 در ردهی ۴۵ تا ۵۰ سال نسبت به ردهی سنی ۱۵ تا ۱۷ سال افزایش داشت که این افزایش بیان به ترتیب با  $p-value <0.001$ ,  $<0.01$  و  $<0.001$  از نظر آماری معنی دار بود (شکل ۳).

نتایج حاصل از بررسی تفاوت بیان miRNA های miR-24, miR-106a با افزایش سن: در ادامه بدون در نظر گرفتن نسبت دوقلویی در نمونه ها، بررسی تغییرات بیان miRNA های مورد نظر در دو ردهی سنی بر اساس شکل الگوار طراحی مطالعه (شکل ۱- ج) انجام گرفت.



شکل ۳. تاثیر افزایش سن بر تفاوت بیان miRNA ها. انحراف از میانگین به صورت SEM محاسبه شده است. ( $p-value <0.001$ ,  $<0.01$ ,  $<0.001$ ). (الف) miR-106a (ب) miR-107 (ج) miR-24

رونده مولکولی شامل کوتاه شدن تلومر، آسیب DNA، فروپاشی ساختار ارگانیل و سلول و تغییرات بیان ژن ها می باشد (۲۲). موجودات پیچیده دارای عملکردهای ژنی متفاوت در طول زندگی خود و مرتبط با مرحله ای که در آن قرار دارند می باشند، در هر یک از این مراحل یکسری از فرایندهای مولکولی تضمین کننده نیازهای ارگانیسم در آن سن می باشد (از تمایز سلولی در طی مرحله رشد و نمو تا

### بحث

افزایش سن روند پیچیده ای است که منجر به یکسری عملکردهای بیولوژیکی در ارگانیسم ها می شود (۲۰) و پیامد آن افزایش استعداد ابتلا به بیماری و مرگ است (۲۱). اگر چه اساس مولکولی افزایش سن و پیری در حال حاضر در بسیاری از مدل های تجربی بررسی شده است، هیچ نظریه ای جامعی که توضیح دهنده روند پیری باشد وجود ندارد. این

که توسط الشاراوي به مقایسه‌ی پروفایل miRNA خون کامل در دو جمعیت با متوسط سن ۹۶/۴ و ۴۵/۹ سال به روش Microarray پرداخته شد، نتایج حاکی از کاهش بیان miR-24, miR-106a و miR-107 miRNAs با افزایش سن بود (۱۷).

این تفاوت در نتایج بررسی‌های انجام شده بر میزان بیان miRNA ها در روند افزایش سن را می‌توان به عوامل متعددی نسبت داد از جمله تفاوت در نوع سلول‌های مورد بررسی (سلول‌های لنفوцит و یا کل سلول‌های خون محیطی)، رده‌های سنی متفاوت انتخاب شده (در مطالعه‌ی حاضر گروه‌های سنی انتخاب شده کمتر از ۵۰ سال سن داشتند، در حالی که به طور مثال مطالعه الشاراوي رده‌ی سنی بالای ۵۰ سال را مورد بررسی قرار داده بودند)، و یا حتی اقلیم متفاوتی که افراد در آن زندگی می‌کنند. افراد شرکت کننده در این مطالعه از جمعیت سالمی که داروی خاصی مصرف نمی‌کردند انتخاب گردیدند در حالی که این تعریف در سایر مطالعات ذکر نشده بود. دلیل دیگر تفاوت در نتایج، تکنیک‌های متفاوت مورد استفاده در این مطالعات بود.

دو قلوهای همسان مدل مناسبی برای مطالعه‌ی تغییرات اپی‌ژنتیک مرتبط با افزایش سن هستند. تا به امروز شواهد متناقضی از عدم تطابق ژنتیک و اپی‌ژنتیک در دوقلوهای همسان در سنین کودکی گزارش شده است. به طور کلی عدم تطابق فنوتیپی بین دوقلوهای همسان را به محیط‌های غیر مشترکی که در طول زندگی با آن مواجه می‌شوند نسبت می‌دهند. عامل افزایش سن به عنوان فاكتوری مهم در افزایش میزان عدم تطابق در مطالعات انجام شده مورد توافق است (۳۰). اپی‌ژنم حالتی پویا داشته و مرتبط و متأثر از تغییرات محیط است (۳۱). مطالعات زیادی در تایید نقش اپی‌ژنتیک به عنوان عامل کلیدی در عدم تطابق دوقلوهای همسان مطرح شده است (۳۲ و ۳۰ و ۱۸). تحقیقات جدید با نگاه دقیق‌تری به بررسی دلایل عدم تطابق در دوقلوهای همسان

حفظ و نگهداری سیستم‌های حیاتی موجود زنده در بزرگسالی) (۲۳). محققین فاكتورهای اپی‌ژنتیک را شامل CPG متیلاسیون، تغییرات هیستون و RNA های غیرکدشونده مثل miRNAs به عنوان عاملی برای کنترل مرکزی تغییرات بیان ژن‌ها و ناپایداری ژنوم در طی افزایش سن پیشنهاد دادند (۲۴). تغییرات بیان miRNA ها با افزایش سن در مدل‌های موشی و در نمونه‌ی کبد و معز نیز تایید شده است (۲۵-۲۸). افزایش سن در سلول‌ها اعمدتاً توسط P53-P21 و P16-PRB که از مسیرهای تنظیم کننده‌ی سرعت چرخه‌ی سلول می‌باشند کنترل می‌گردد. miRNA های انتخاب شده در این مطالعه باهدف قرار دادن miRNA ژن‌های P16, P21, CDK6 در روند افزایش سن ایفای نقش می‌کنند. به دلیل ملاحظات اخلاقی و همچنین محدودیت‌های زمانی، بیشتر مطالعات انجام شده در زمینه‌ی افزایش سن به صورت آزمایشگاهی و روی مدل‌های حیوانی انجام گرفته است. در مطالعه‌ی حاضر بررسی‌ها روی نمونه‌ی خون کامل انجام گرفته و نشان داده شد که افزایش سن باعث افزایش بیان miR-107 miR-24, miR-106a و miR-107 miRNA می‌گردد که این یافته در هماهنگی با مطالعه‌ای است که افزایش بیان miR-107 را در رده‌ی سلول‌های سرطانی ریه‌ی انسان مسؤول مهار رونویسی و ناپایداری CDK6 دانسته که باعث خلاف افزایش بیان miRNA های مورد بررسی در این مطالعه، هوتون و همکارانش با بررسی سلول‌های تک هسته‌ای خون محیطی در دو جمعیت پیر و جوان (۳۰-۶۹ سال) کاهش بیان miR-107 و miR-24 را گزارش کردن. نتایج نشان داد که بیان تعدادی از miRNA ها و ژن‌های هدف‌شان متأثر از افزایش سن می‌باشد، با پیش‌بینی مسیرهای مولکولی احتمالی مرتبط بیان کردند که این miRNA ها در تنظیم و کنترل سرطان نقش داشته و کاهش بیانشان با افزایش سن احتمالی ابتلا به سرطان را افزایش می‌دهد (۱۲). در مطالعه‌ی دیگری

محیطی بر روند افزایش سن ایفا کنند. شرایط محیطی از طریق مکانیسم‌های اپیژنتیکی بر میزان بیان ژن‌ها از جمله miRNA ها تاثیرگذار است. اهمیت اثر شرایط محیطی تا حدی است که به وضوح با افزایش سن و تجمع تاثیرات آن، باعث افزایش عدم تطابق در بیان miR-24, miR-106a و miR-107 مرتبط با چرخه‌ی سلولی و فرایند پیری در دوقلوهای همسان می‌گردد. نتیجه‌ی دیگر برگرفته از این miR-107 miR-24, miR-106a و miR-24, miR-106a مطالعه یعنی افزایش بیان با افزایش سن نیز مساله‌ای حائز اهمیت است و با بررسی‌ها و مطالعات بیشتر می‌تواند تاییدی باشد بر این نظریه که RNA های غیر کد شونده می‌توانند به عنوان یک افق جدید در تحقیقات آینده با هدف به تاخیر اندختن روند پیری و گسترش امید به سلامت در نظر گرفته شوند(۲).

### تشکر و قدر دانی

این پژوهش در قالب پایان نامه دانشجویی در گروه هماتولوژی دانشگاه تربیت مدرس انجام شده است. بدین‌وسیله بر خود لازم می‌دانیم از خدمات این عزیزان و نیز انجمن دوقلوها و چند دوقلوهای پارسی که در معرفی دوقلوها در گروه‌های سنی مختلف نهایت همکاری را داشته‌اند، تقدیر و تشکر نماییم.

### References

- 1- Johnson FB, Sinclair DA, Guarente L. Molecular biology of aging. *Cell*. 1999; 96: 291-302.
- 2- Tan Q, Christiansen L, Thomassen M, Kruse TA, Christensen K. Twins for epigenetic studies of human aging and development. *Ageing Res Rev*. 2013; 12: 182-7.

می‌پردازد. یکی از راههای کنترل بیان miRNA ها، اپیژنتیک می‌باشد و بالعکس بعضی از مکانیسم‌های اپیژنتیکی تحت تنظیم miRNA ها هستند (۳۴ و ۳۵). با در نظر گرفتن این ارتباط می‌توان تفاوت در میزان بیان miRNA را نیز عاملی جهت عدم تطابق در دوقلوهای همسان دانست. در این مطالعه تفاوت در میزان بیان miRNA های miR-24, miR-106a و miR-107 که همگی مرتبط با فرایند افزایش سن هستند، در دوقلوهای همسان بررسی شد. با وجود شرایط محیطی مشابه با افزایش سن میزان عدم تطابق در بیان miRNA های مذکور به‌طور معنی‌داری افزایش یافت. این امر نشان دهنده‌ی این حقیقت است که حتی جزئی ترین تفاوت در شرایط محیطی که ممکن است در نگاه اول قابل چشم پوشی باشد، تفاوت در میزان بیان miRNA ها را منجر می‌شود که تجمع این تفاوت بیان در طول زمان و با افزایش سن می‌تواند از عوامل اصلی عدم تطابق در دوقلوهای همسان در سنین بالاتر محسوب گردد.

### نتیجه گیری

عوامل دخیل در فرایند افزایش سن می‌توانند به عنوان فاکتورهای پیش‌آگهی دهنده‌ی بیماری‌های مرتبط با افزایش سن نیز محسوب شوند. دوقلوهای همسان با داشتن ماده‌ی ژنتیکی یکسان می‌توانند نقش موثری در بررسی تاثیر شرایط

- 3- Huidobro C, Fernandez AF, Fraga MF. Aging epigenetics: causes and consequences. *Mol Aspects Med*. 2013; 34: 765-81.
- 4- Herman JG, Baylin SB. Gene silencing in cancer in association with promoter hypermethylation. *N Engl J Med*. 2003; 349: 2042-54.
- 5- Han S, Brunet A. Histone methylation makes

- its mark on longevity. *Trends Cell Biol.* 2012; 22: 42-9.
- 6- Maures TJ, Greer EL, Hauswirth AG, Brunet A. The H3K27 demethylase UTX-1 regulates *C. elegans* lifespan in a germline-independent, insulin-dependent manner. *Aging cell.* 2011; 10: 980-90.
- 7- Esteller M. Epigenetics in cancer. *N Engl J Med.* 2008; 358: 1148-59.
- 8- Lee Y, Kim M, Han J, et al. MicroRNA genes are transcribed by RNA polymerase II. *EMBO J* 2004; 23: 4051-60.
- 9- Ambros V. The functions of animal microRNAs. *Nature.* 2004; 431: 350-5.
- 10- Kato M, Chen X, Inukai S, Zhao H, Slack FJ. Age-associated changes in expression of small, noncoding RNAs, including microRNAs, in *C. elegans*. *RNA.* 2011; 17: 1840-20.
- 11- Xu D, Tahara H. The role of exosomes and microRNAs in senescence and aging. *Adv Drug Deliv Rev.* 2013; 65: 368-75.
- 12- Hooten NN, Abdelmohsen K, Gorospe M, Ejiogu N, Zonderman AB, Evans MK. MicroRNA expression patterns reveal differential expression of target genes with age. *PLoS One.* 2010; 5: e10724.
- 13- Liang R, Bates DJ, Wang E. Epigenetic control of microRNA expression and aging. *Curr Genomics.* 2009; 10: 184-93.
- 14- Kato M, Slack FJ. microRNAs: small molecules with big roles—*C. elegans* to human cancer. *Biol Cell.* 2008; 100: 71-81.
- 15- Ibáñez-Ventoso C, Yang M, Guo S, Robins H, Padgett RW, Driscoll M. Modulated microRNA expression during adult lifespan in *caenorhabditis elegans*. *Aging cell.* 2006; 5: 235-46.
- 16- Hackl M, Brunner S, Fortschegger K, et al. miR-17, miR-19b, miR-20a, and miR-106a are down-regulated in human aging. *Aging cell.* 2010; 9: 291-6.
- 17- ElSharawy A, Keller A, Flachsbart F, et al. Genome-wide miRNA signatures of human longevity. *Aging cell.* 2012
- 18- Fraga MF, Ballestar E, Paz MF, et al. Epigenetic differences arise during the lifetime of monozygotic twins. *Proc Natl Acad Sci U S A.* 2005; 102: 10604-9.
- 19- Price TS, Freeman B, Craig I, Petrill SA, Ebersole L, Plomin R. Infant zygosity can be assigned by parental report questionnaire data. *Twin Res.* 2000; 3: 129-33.
- 20- Berdasco M, Esteller M. Hot topics in epigenetic mechanisms of aging: 2011. *Aging cell.* 2012; 11: 181-6.
- 21- Rakyan VK, Down TA, Maslau S, et al. Human aging-associated DNA hypermethylation occurs preferentially at bivalent chromatin domains. *Genome Res.* 2010; 20: 434-9.
- 22- Oberdoerffer P, Michan S, McVay M, et al. SIRT1 redistribution on chromatin promotes genomic stability but alters gene expression during aging. *Cell.* 2008; 135: 907-18.
- 23- Lanceta J, Prough RA, Liang R, Wang E.

- MicroRNA group disorganization in aging. *Exp Gerontol.* 2010; 45: 269-78.
- 24- Mostoslavsky R, Chua KF, Lombard DB, et al. Genomic instability and aging-like phenotype in the absence of mammalian SIRT6. *Cell.* 2006; 124: 315-29.
- 25- Bartel DP. MicroRNAs: target recognition and regulatory functions. *Cell.* 2009; 136: 215-33.
- 26- Maes OC, An J, Sarojini H, Wang E. Murine microRNAs implicated in liver functions and aging process. *Mech Ageing Dev.* 2008; 129: 534-41.
- 27- Bates DJ, Li N, Liang R, et al. MicroRNA regulation in Ames dwarf mouse liver may contribute to delayed aging. *Aging cell.* 2010; 9: 1-18.
- 28- Li N, Bates DJ, An J, Terry DA, Wang E. Up-regulation of key microRNAs, and inverse down-regulation of their predicted oxidative phosphorylation target genes, during aging in mouse brain. *Neurobiol Aging.* 2011; 32: 944-55.
- 29- Takahashi Y, Forrest AR, Maeno E, Hashimoto T, Daub CO, Yasuda J. MiR-107 and MiR-185 can induce cell cycle arrest in human non smallcell lung cancer cell lines. *PLoS One.* 2009; 4: e6677.
- 30- Czyz W, Morahan JM, Ebers GC, Ramagopalan SV. Genetic, environmental and stochastic factors in monozygotic twin discordance with a focus on epigenetic differences. *BMC Med.* 2012; 10: 93.
- 31- Wong C, Caspi A, Williams B, et al. A longitudinal study of epigenetic variation in twins. *Epigenetics.* 2010; 5: 516-26.
- 32- Talens RP, Christensen K, Putter H, et al. Epigenetic variation during the adult lifespan: cross-sectional and longitudinal data on monozygotic twin pairs. *Aging cell.* 2012; 11: 694-703.
- 33- Kaminsky ZA, Tang T, Wang S-C, et al. DNA methylation profiles in monozygotic and dizygotic twins. *Nat Genet.* 2009; 41: 240-5.
- 34- Saito Y, Liang G, Egger G, et al. Specific activation of microRNA-127 with downregulation of the proto-oncogene BCL6 by chromatin-modifying drugs in human cancer cells. *Cancer cell.* 2006; 9: 435-43.
- 35- Egger G, Liang G, Aparicio A, Jones PA. Epigenetics in human disease and prospects for epigenetic therapy. *Nature.* 2004; 429: 457-63.

## Comparison of miR-24, miR-106a and miR-107 Expression in Identical Twins of Different Ages

Ajami M<sup>1</sup>, Atashi A<sup>1</sup>, Soleimani M<sup>1</sup>, Ajami M<sup>2</sup>, Kaviani S<sup>1</sup>

<sup>1</sup>Dept of Hematology, Faculty of Medicine, Tarbiat Modares University, Tehran, Iran.

<sup>2</sup>Dept of Hematology, Faculty of Medicine, Mashhad University of Medical Sciences, Mashhad, Iran.

**Corresponding Author:** Atashi A, Dept of Hematology, School of Medical Sciences, Tarbiat Modares University,

Tehran, Iran

**E-mail:** atashia@modares.ac.ir

**Received:** 11 May 2014      **Accepted:** 28 Sep 2014

**Background and Objective:** Aging like many complex traits is the result of interaction between genome and environmental factors and epigenetic mechanisms as a central connector links these two markers. So far, investigations on age-related characteristics and biomarkers predicting survival and risk of death have been carried out, none of which led to an overall consensus among the researchers. Identical twins are good models to study epigenetic changes associated with senescence. MicroRNAs are small non-coding regulatory RNA molecules known as one of the epigenetic mechanisms involved in the aging process. The aim of this study was to compare some of miRNAs expression associated with aging in pairs of identical twins.

**Materials and Methods:** In this study, variations in expression of miR-106a, miR-24 and miR-107 whose target genes are associated with cell cycle regulation, in six pairs of identical twins within two age ranges of 15 - 17 and 45 - 50 years old were studied using qRT-PCR technique.

**Results:** There was a significant difference in expressions of miR-24, miR-106a and miR-107 (Fold change= 22 and 37) between two age ranges. Also, the level of discordance in expression of all three miRNAs between twins increased with aging (Fold change= 401 and 733).

**Conclusion:** Increase in the expression of miR-106a, miR-24 and miR-107 may be considered as a marker of aging. A trend rising differences in expression levels related to aging may confirm the environmental effects on the identical twins.

**Keywords:** Twins, Epigenetic, miRNA, Ageing